

## 第八章 $z$ 变换、离散时间系统的 $z$ 域分析

8.1  $z$  变换的定义

8.2 典型序列的  $z$  变换

8.3  $z$  变换的收敛域

8.4 逆  $z$  变换

8.5  $z$  变换的基本性质

**8.6  $z$  平面与  $s$  平面的关系**

**8.7 利用  $z$  变换解差分方程**

**8.8 离散时间系统的系统函数**

8.9 序列的傅里叶变换

8.10 离散时间系统的频率响应特性

## 8.6 z 平面与 s 平面的映射关系

### 8.6.1 z 平面与 s 平面的映射关系

$$z = e^{sT} \quad T \text{ 为序列的时间间隔}$$

将  $s$  表示成直角坐标形式, 将  $z$  表示成极坐标形式

$$s = \sigma + j\omega, \quad z = re^{j\theta}$$

$$z = e^{(\sigma + j\omega)T} = e^{\sigma T} e^{j\omega T} = re^{j\theta}$$

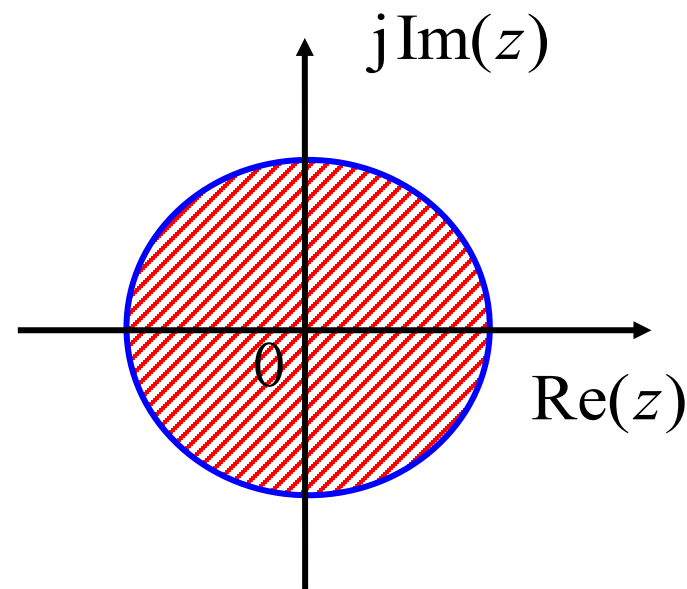
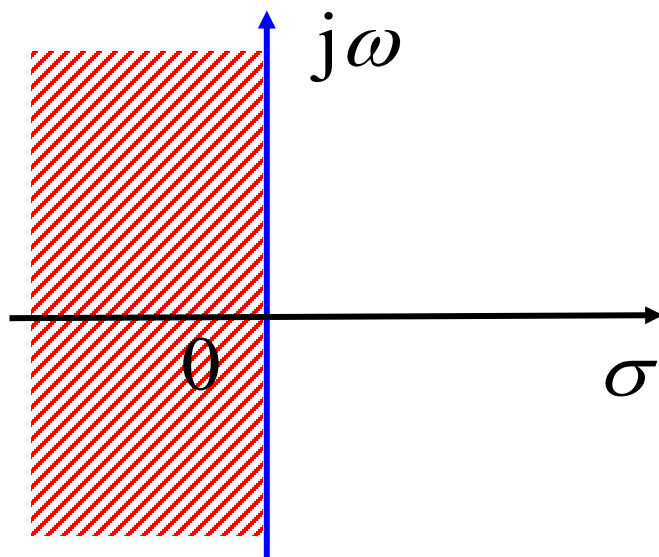
$$\left\{ \begin{array}{l} r = e^{\sigma T} = e^{\frac{2\pi\sigma}{\omega_s}} \\ \theta = \omega T = 2\pi \frac{\omega}{\omega_s} \end{array} \right. \quad \omega_s = \frac{2\pi}{T} \text{ 为重复频率}$$

1)  $s$ 平面上的虚轴<sup>映射</sup>  $\implies$   $z$ 平面上的单位圆( $r=1$ )

$$\sigma = 0 \quad s = j\omega \quad r = |z| = e^{\sigma T} = 1$$

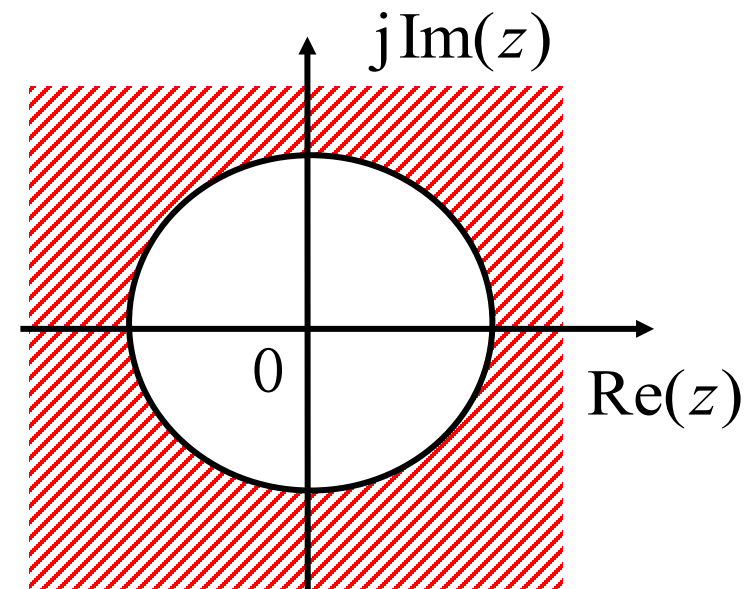
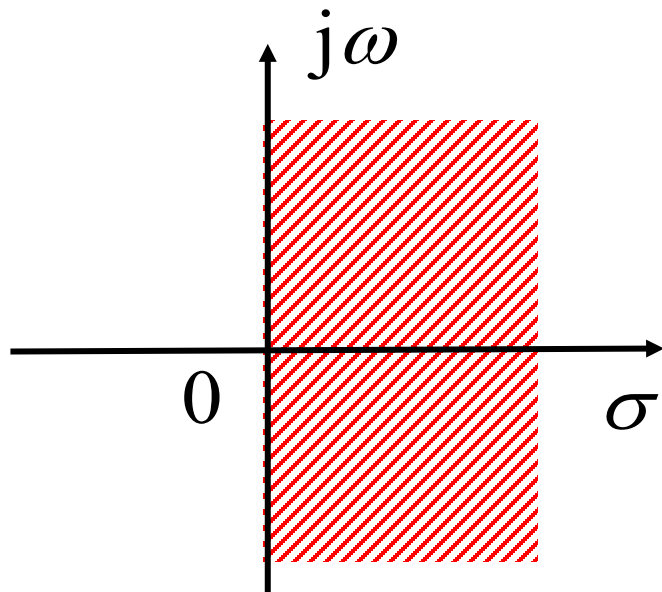
2)  $s$ 平面上的左半平面<sup>映射</sup>  $\implies$   $z$ 平面上的单位圆内( $r < 1$ )

$$\sigma < 0 \quad s = \sigma + j\omega \quad r = |z| = e^{\sigma T} < 1$$

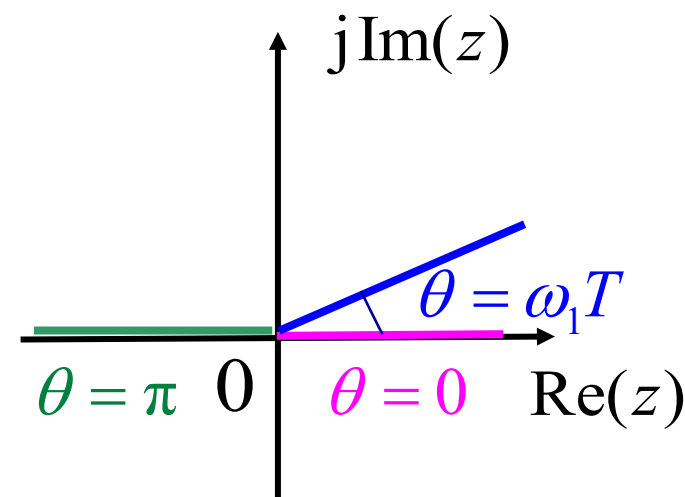
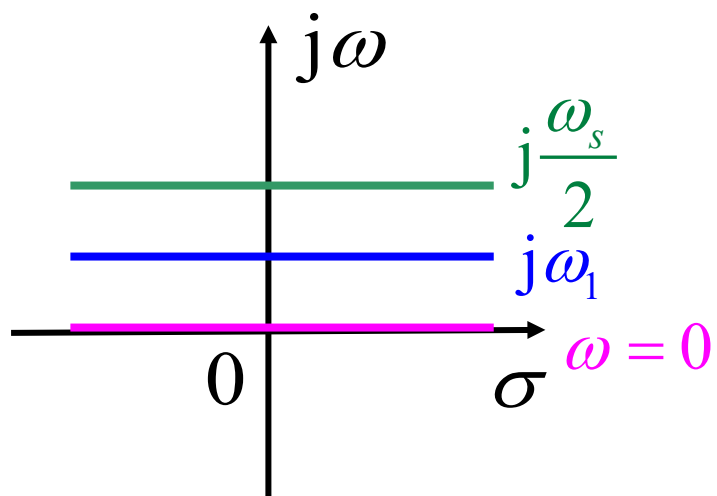


3)  $s$ 平面上的右半平面  $\xrightarrow{\text{映射}}$   $z$ 平面上的单位圆外 ( $r > 1$ )

$$\sigma > 0 \quad s = \sigma + j\omega \quad r = |z| = e^{\sigma T} > 1$$



4)  $s$ 平面上的实轴<sup>映射</sup>  $\implies z$ 平面上的正实轴( $\theta=0$ )



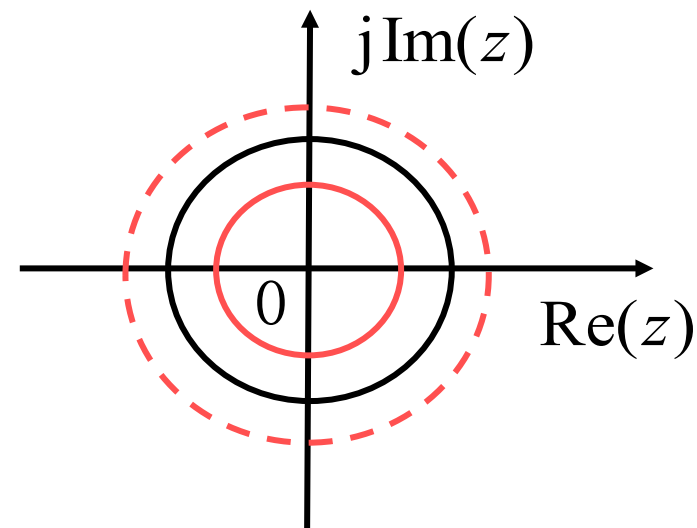
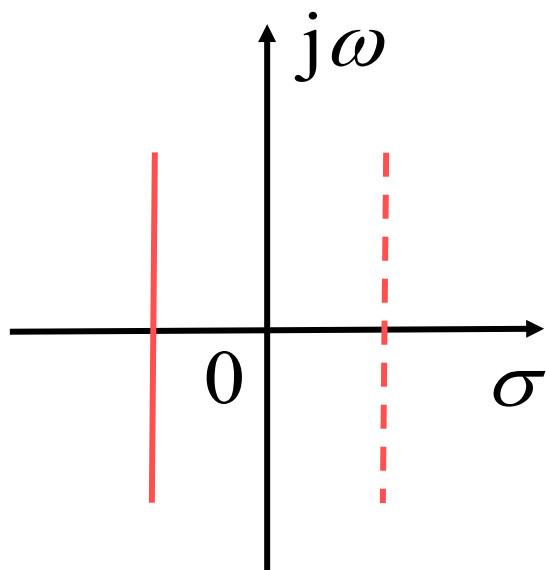
平行于实轴的直线( $\omega = \text{常数}$ )<sup>映射</sup>  $\implies z$ 平面上始于原点的射线

通过  $\pm j\frac{k\omega_s}{2}$  ( $k = \pm 1, \pm 3, \dots$ ) 平行于实轴的直线<sup>映射</sup>  $\implies z$ 平面上负实轴  $\left( \begin{matrix} \theta = \pi \\ r \text{任意} \end{matrix} \right)$

$$\theta = \omega T = 2\pi \frac{\omega}{\omega_s} = k\pi$$

$$\omega_s = \frac{2\pi}{T}$$

5) 平行于虚轴的直线  $\xrightarrow{\text{映射}}$   $z$  平面上的圆  $\begin{cases} \sigma > 0, & r > 1 \\ \sigma < 0, & r < 1 \end{cases}$



6)  $s$ 平面上沿虚轴移动<sup>映射</sup> $\implies z$ 平面上沿单位圆周期性旋转,  
每平移 $\omega_s$ , 则沿单位圆转一圈。

即 $s \sim z$ 平面的映射并不是单值的。

$$\theta = \omega T = 2\pi \frac{\omega}{\omega_s}$$

$$\omega_s = \frac{2\pi}{T}$$

$$\omega = 0 \sim \omega_s$$

$$\theta = 0 \sim 2\pi$$

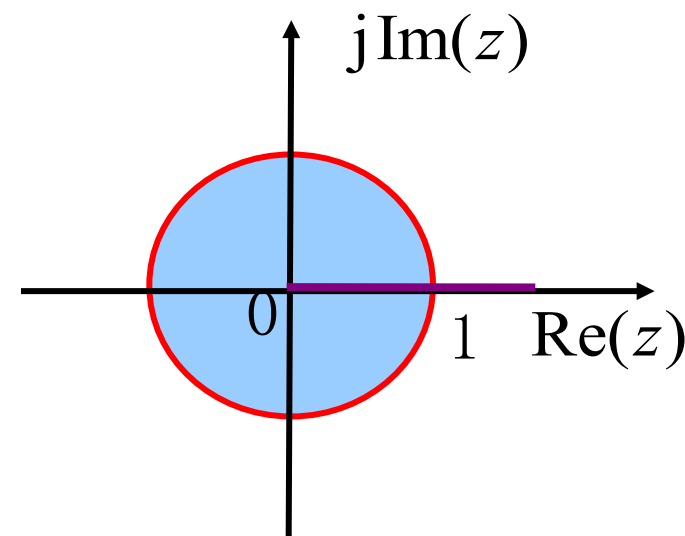
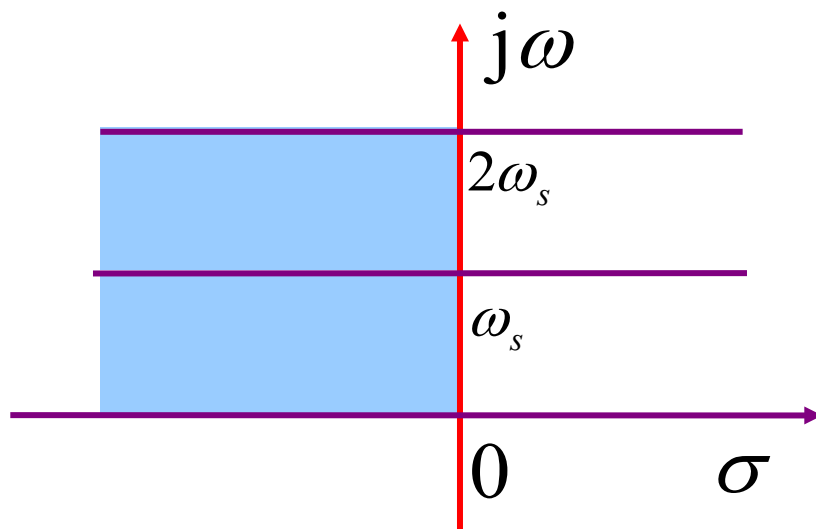
$$\omega = \omega_s \sim 2\omega_s$$

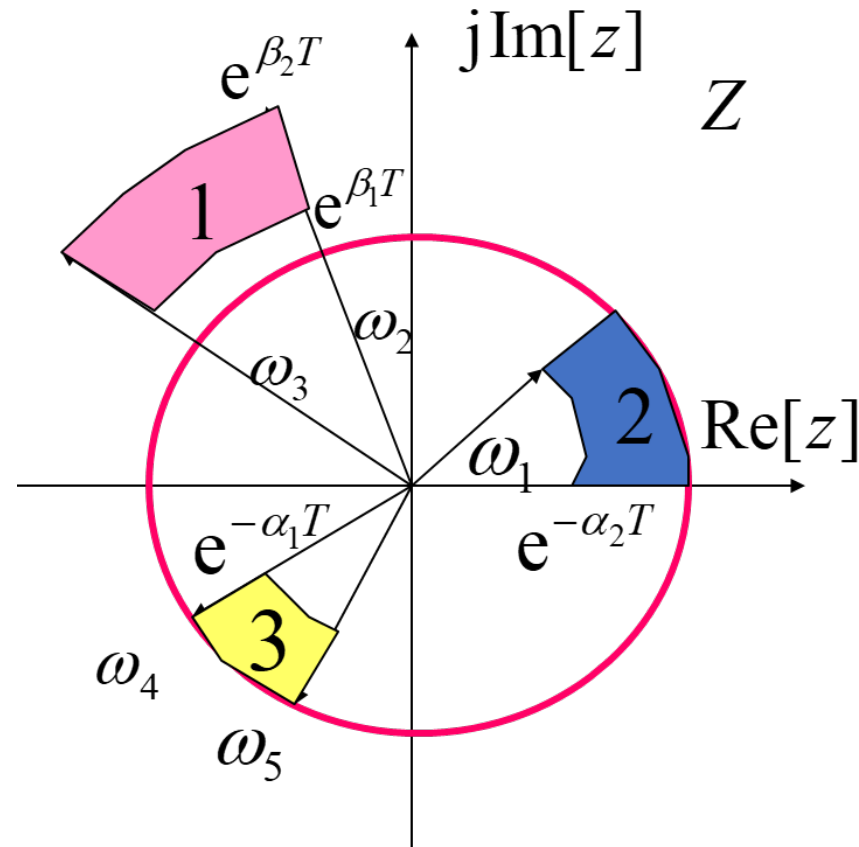
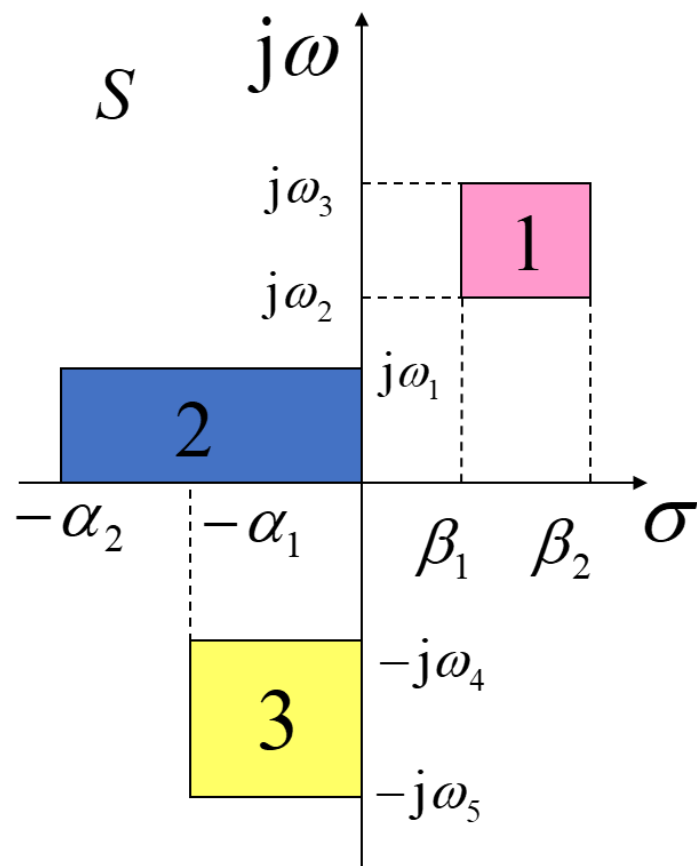
$$\theta = 2\pi \sim 4\pi$$

$$\omega = 0 \sim k\omega_s$$

$$\theta = 0 \sim 2k\pi$$

$k$  圈





给定  $\frac{\pi}{2T} < \omega_2 < \omega_3 < \frac{\pi}{T}$

$\longrightarrow \frac{\pi}{2} < \omega_2 T < \omega_3 T < \pi$

$0 < \omega_1 < \frac{\pi}{2T}$

$\longrightarrow 0 < \omega_1 T < \frac{\pi}{2}$

$\frac{\pi}{T} < \omega_4 < \omega_5 < \frac{3\pi}{2T}$

$\longrightarrow \pi < \omega_4 T < \omega_5 T < \frac{3\pi}{2}$



## 8.6.2 z 变换与拉氏变换的表达式的对应

若连续时间信号  $\hat{x}(t)$  由  $N$  项指数信号相加组合而成

$$\hat{x}(t) = \hat{x}_1(t) + \hat{x}_2(t) + \dots + \hat{x}_N(t) = \sum_{i=1}^N \hat{x}_i(t) = \sum_{i=1}^N A_i e^{p_i t} u(t)$$

$$LT[\hat{x}(t)] = \sum_{i=1}^N \frac{A_i}{s - p_i}$$

若序列  $x(nT)$  由  $N$  项指数序列相加组合而成

$$x(nT) = x_1(nT) + x_2(nT) + \dots + x_N(nT) = \sum_{i=1}^N x_i(nT) = \sum_{i=1}^N A_i e^{p_i nT} u(nT)$$

$$ZT[x(nT)] = \sum_{i=1}^N \frac{A_i}{1 - e^{p_i T} z^{-1}}$$

借助模拟滤波器  
设计数字滤波器

## 8.7 利用 z 变换解差分方程

**原理：**利用单边 z 变换的线性和位移性

### 1、单边 z 变换的位移性

$$ZT[x(n)u(n)] = X(z) = \sum_{n=0}^{\infty} x(n)z^{-n}$$

$$ZT[x(n-m)u(n)] = z^{-m} \left[ X(z) + \sum_{k=-m}^{-1} x(k)z^{-k} \right]$$

$$ZT[x(n+m)u(n)] = z^m \left[ X(z) - \sum_{k=0}^{m-1} x(k)z^{-k} \right]$$

## 2、用单边 $z$ 变换解差分方程的步骤和思路

$$\sum_{k=0}^N a_k y(n-k) = \sum_{r=0}^M b_r x(n-r)$$

$y(n-k)$ ,  $x(n-r)$  均为右移序列

两边取单边  $z$  变换

$$\sum_{k=0}^N a_k z^{-k} [Y(z) + \sum_{l=-k}^{-1} y(l) z^{-l}] = \sum_{r=0}^M b_r z^{-r} [X(z) + \sum_{m=-r}^{-1} x(m) z^{-m}]$$

起始状态

若为因果信号  
此项为零

## 1) 零输入响应

若激励  $x(n) = 0$ , 系统处于零输入状态:

$$\sum_{k=0}^N a_k z^{-k} [Y(z) + \sum_{l=-k}^{-1} y(l) z^{-l}] = 0$$

求得的是零输入响应:

$$Y_{zi}(z) = \frac{-\sum_{k=0}^N [a_k z^{-k} \cdot \sum_{l=-k}^{-1} y(l) z^{-l}]}{\sum_{k=0}^N a_k z^{-k}}$$

系统的起始状态  $y(l)$  ( $-N \leq l \leq -1$ )。

$$y_{zi}(n) = ZT^{-1}[Y_{zi}(z)]$$

## 2) 零状态响应

若系统的起始状态  $y(l) = 0$  ( $-N \leq l \leq -1$ ), 系统处于零状态, 且激励  $x(n)$  为因果序列, 则

$$\sum_{k=0}^N a_k z^{-k} Y(z) = \sum_{r=0}^M b_r z^{-r} X(z)$$

求得的零状态响应:

$$Y_{zs}(z) = X(z) \cdot \frac{\sum_{r=0}^M b_r z^{-r}}{\sum_{k=0}^N a_k z^{-k}}$$

系统函数:

$$H(z) = \frac{\sum_{r=0}^M b_r z^{-r}}{\sum_{k=0}^N a_k z^{-k}}$$

$$Y_{zs}(z) = X(z) H(z)$$

$$y_{zs}(n) = ZT^{-1}[X(z)H(z)]$$

## 8.8 离散系统的系统函数

### 8.8.1 系统函数的定义

#### 1、系统零状态响应的 $z$ 变换与激励的 $z$ 变换之比

$$\sum_{k=0}^N a_k y(n-k) = \sum_{r=0}^M b_r x(n-r)$$

零状态

$$Y(z) \sum_{k=0}^N a_k z^{-k} = X(z) \sum_{r=0}^M b_r z^{-r}$$

因果

$$H(z) = \frac{Y(z)}{X(z)} = \frac{\sum_{r=0}^M b_r z^{-r}}{\sum_{k=0}^N a_k z^{-k}}$$

## 2、单位样值响应 $h(n)$ 的 $z$ 变换

激励与单位样值响应的卷积为系统的零状态响应

$$y(n) = x(n) * h(n)$$

由卷积定理  $Y(z) = X(z)H(z)$

$$H(z) = \frac{Y(z)}{X(z)}$$

$$H(z) = \sum_{n=0}^{\infty} h(n)z^{-n}$$

## 8.8.2 由系统函数的零极点分布分析单位样值响应

$$H(z) = \left[ \frac{\prod_{r=1}^M (1 - z_r z^{-1})}{\prod_{k=1}^N (1 - p_k z^{-1})} \right] = \sum_{k=0}^N \frac{A_k z}{z - p_k} = A_0 + \sum_{k=1}^N \frac{A_k z}{z - p_k}$$

其中  $z_r$ 、 $p_k$  分别为  $H(z)$  的零点、极点； $p_0 = 0$

$$h(n) = ZT^{-1}[H(z)] = A_0 \delta(n) + \sum_{k=1}^N A_k (p_k)^n u(n)$$

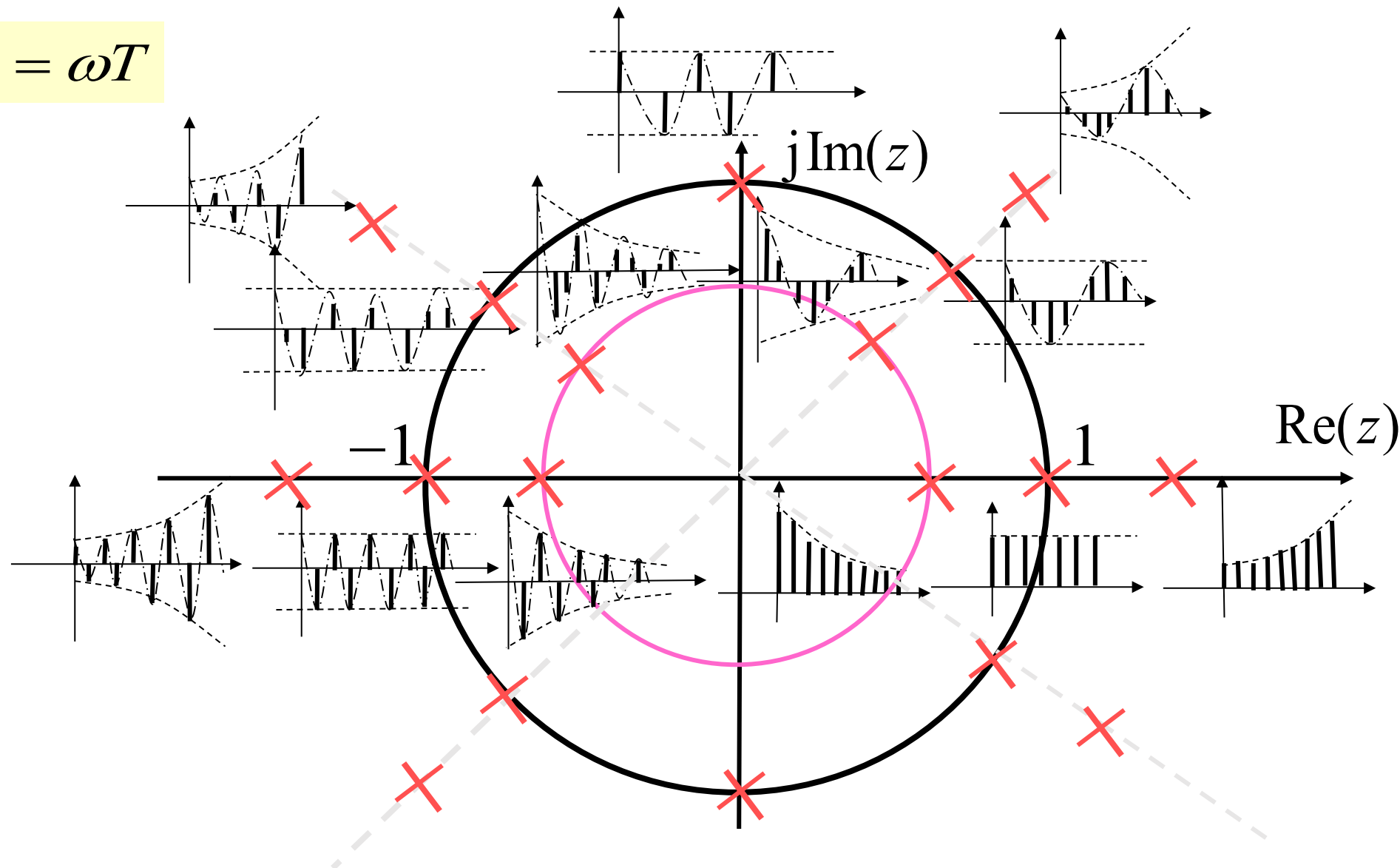
取决于  
 $\therefore h(n)$  特性  $\Longleftrightarrow H(z)$  的极点  $p_k$

取决于  
 $h(n)$  幅值  $A_k \Longleftrightarrow H(z)$  的零点  $z_r$



## 极点分布对 $h(n)$ 的影响 (教材 86 页)

$$r = e^{\sigma T}, \theta = \omega T$$



## 8.8.3 离散时间系统的稳定性和因果性

### 1、时域中系统因果稳定的条件

离散时间系统稳定的充要条件是：单位样值响应是绝对可和的，即

$$\sum_{n=-\infty}^{\infty} |h(n)| < \infty$$

因果稳定系统的充要条件为： $h(n)$  是单边的而且是绝对可和的。即

$$\begin{cases} h(n) = h(n)u(n) & \text{因果} \\ \sum_{n=-\infty}^{\infty} |h(n)| < \infty & \text{稳定} \end{cases}$$

## 2、在 $z$ 域中因果稳定的条件

$$H(z) = \sum_{n=-\infty}^{\infty} h(n)z^{-n}, \text{ 收敛域要求 } \sum_{n=-\infty}^{\infty} |h(n)z^{-n}| < \infty$$

$$\text{当 } z = 1 \text{ 时, } H(z) \text{ 的收敛域变为 } \sum_{n=-\infty}^{\infty} |h(n)| < \infty$$

恰好满足系统稳定的条件。

因此对于稳定系统,  $H(z)$  收敛域应包含单位圆。

对于因果稳定系统, 收敛域为:

$$\begin{cases} a < |z| \leq \infty \\ a < 1 \end{cases}$$

即全部极点位于单位圆内。

**例8-16：**已知系统函数如下，试说明分别在三种收敛域情况下系统的稳定性，并求单位样值响应。

$$H(z) = \frac{-9.5z}{(z-0.5)(z-10)} \quad (1) 10 < |z| \leq \infty \quad (2) 0.5 < |z| < 10 \quad (3) |z| < 0.5$$

**解：** (1)  $10 < |z| \leq \infty$

**方法一：**由收敛域可知此为因果系统。收敛域不包括单位圆，所以系统是不稳定的。

**方法二：**由收敛域判断该系统是因果系统  $z_1 = 0.5$   $z_2 = 10$   $|z_2| > 1$

因果稳定系统的极点位于单位圆内。此处有一个极点位于单位圆外，因而系统是不稳定的。

$$h(n) = [(0.5)^n - (10)^n]u(n)$$

$$(2) \quad 0.5 < |z| < 10$$

右边序列      左边序列

收敛域包括单位圆，系统稳定。

由收敛域判断该系统是非因果系统。

$$H(z) = \frac{z}{z - 0.5} - \frac{z}{z - 10} \quad h(n) = (0.5)^n u(n) + (10)^n u(-n - 1)$$

$$(3) \quad |z| < 0.5 \quad \text{左边序列}$$

收敛域不包括单位圆，系统不稳定。

由收敛域判断该系统是非因果系统。

$$h(n) = [(10)^n - (0.5)^n] u(-n - 1)$$

已知某因果系统的差分方程为：

$$y(n) + 0.2y(n-1) - 0.24y(n-2) = x(n) + x(n-1)$$

该系统是否稳定？

- ☒ A 稳定
- ☐ B 不稳定

提交

**例8-17:** 已知  $y(n) + 0.2y(n-1) - 0.24y(n-2) = x(n) + x(n-1)$  求  $H(z)$ 、 $h(n)$ , 讨论此因果系统的收敛域和稳定性。若激励信号为  $u(n)$ , 求零状态响应  $y(n)$ 。

**解:** (1) 先求系统函数

差分方程两边  $z$  变换, 得  $Y(z) + 0.2z^{-1}Y(z) - 0.24z^{-2}Y(z) = X(z) + z^{-1}X(z)$

$$\text{整理得} \quad \left(1 + \frac{0.2}{z} - \frac{0.24}{z^2}\right)Y(z) = \left(1 + \frac{1}{z}\right)X(z)$$

$$\therefore H(z) = \frac{Y(z)}{X(z)} = \frac{z(z+1)}{z^2 + 0.2z - 0.24} = \frac{z(z+1)}{(z-0.4)(z+0.6)}$$

(2) 求收敛域和判断稳定性

$$H(z) = \frac{z(z+1)}{(z-0.4)(z+0.6)} \quad \because z_1 = 0.4, \quad z_2 = -0.6$$

系统为因果系统,  $\therefore |z| > 0.6$

收敛域包括单位圆, 系统为稳定的。

(3) 求冲激响应  $h(n)$

$$\frac{H(z)}{z} = \frac{1.4}{z-0.4} - \frac{0.4}{z+0.6} \quad H(z) = \frac{1.4z}{z-0.4} - \frac{0.4z}{z+0.6}$$

$$h(n) = [1.4(0.4)^n - 0.4(-0.6)^n]u(n)$$



## (4) 求零状态响应

$$x(n) = u(n) \qquad X(z) = \frac{z}{z-1} \quad (|z| > 1)$$

$$Y(z) = H(z)X(z) = \frac{z^2(z+1)}{(z-1)(z-0.4)(z+0.6)}$$

$$Y(z) = \frac{2.08z}{z-1} - \frac{0.93z}{z-0.4} - \frac{0.15z}{z+0.6} \quad (|z| > 1)$$

零状态响应

$$y(n) = [2.08 - 0.93(0.4)^n - 0.15(-0.6)^n]u(n)$$

## 作 业

**教材习题：**

**基础题：** 8-21, 8-23, 8-26 (1) (3) (5) , 8-29

**加强题：** 8-26 (2) (4)

## 第八章 $z$ 变换、离散时间系统的 $z$ 域分析

8.1  $z$  变换的定义

8.2 典型序列的  $z$  变换

8.3  $z$  变换的收敛域

8.4 逆  $z$  变换

8.5  $z$  变换的基本性质

8.6  $z$  平面与  $s$  平面的关系

8.7 利用  $z$  变换解差分方程

8.8 离散时间系统的系统函数

8.9 序列的傅里叶变换

8.10 离散时间系统的频率响应特性

## 8.9 序列的傅里叶变换 (DTFT)

### 8.9.1 定义

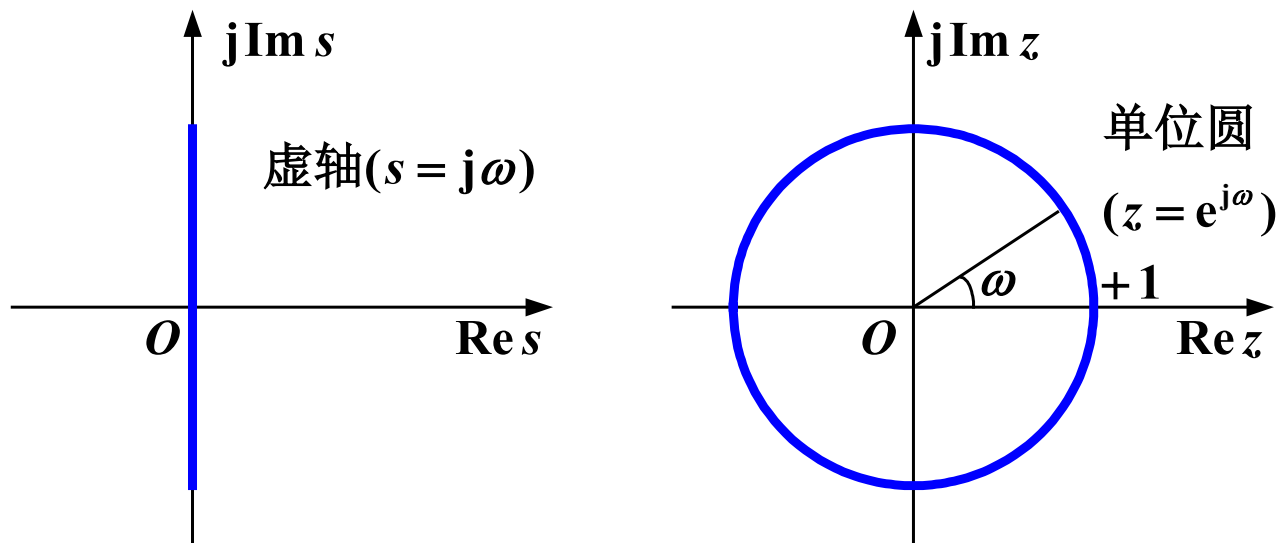
序列的傅里叶变换 (**DTFT, Discrete-time Fourier Transform**) 为研究离散时间系统的频率响应作准备。

由  $z$  变换引出:

$$X(z) = ZT[x(n)] = \sum_{n=-\infty}^{\infty} x(n)z^{-n}$$

$$x(n) = ZT^{-1}[X(z)] = \frac{1}{2\pi j} \oint_C X(z)z^{n-1}dz$$

## 1、DTFT 与 z 变换的关系



$$X(z) = \sum_{n=-\infty}^{\infty} x(n) z^{-n}$$

令  $z = e^{j\omega}$ ,  $|z| = 1$ , 即单位圆上的  $z$  变换就是 DTFT

周期为  
 $2\pi$

$$X(e^{j\omega}) = X(z) \Big|_{z=e^{j\omega}} = \sum_{n=-\infty}^{\infty} x(n) e^{-j\omega n}$$

## 2、DTFT的逆变换

$$\begin{aligned}x(n) &= \frac{1}{2\pi j} \oint_{|z|=1} X(z) z^{n-1} dz \\&= \frac{1}{2\pi j} \oint_{|e^{j\omega}|=1} X(e^{j\omega}) e^{jn\omega} \cdot e^{-j\omega} d(e^{j\omega}) \\&= \frac{1}{2\pi j} \int_{-\pi}^{\pi} X(e^{j\omega}) e^{jn\omega} \cdot e^{-j\omega} j e^{j\omega} d\omega \\&= \frac{1}{2\pi} \int_{-\pi}^{\pi} X(e^{j\omega}) e^{jn\omega} d\omega\end{aligned}$$

$$\text{DTFT}[x(n)] = X(e^{j\omega}) = \sum_{n=-\infty}^{\infty} x(n) e^{-jn\omega}$$

$$\text{IDTFT}[X(e^{j\omega})] = x(n) = \frac{1}{2\pi} \int_{-\pi}^{\pi} X(e^{j\omega}) e^{jn\omega} d\omega$$

## 8.9.2 连续信号和离散序列的傅里叶变换的比较

连续

$$X(j\Omega) = \int_{-\infty}^{\infty} x(t)e^{-j\Omega t} dt$$

$$x(t) = \frac{1}{2\pi} \int_{-\infty}^{\infty} X(j\Omega)e^{j\Omega t} d\Omega$$

离散

$$X(e^{j\omega}) = \sum_{n=-\infty}^{\infty} x(n)e^{-j\omega n}$$

$$x(n) = \frac{1}{2\pi} \int_{-\pi}^{\pi} X(e^{j\omega})e^{j\omega n} d\omega$$

### 频率的比较

模拟角频率  $\Omega$ , 量纲: 弧度/秒;

数字角频率  $\omega$ , 量纲: 弧度;

$e^{j\omega}$  是周期为  $2\pi$  的周期函数

$$z = e^{sT} = e^{j\Omega T} = e^{j\omega}$$
$$\omega = \Omega T$$

## 8.9.3 序列的频谱

$$X(e^{j\omega}) = |X(e^{j\omega})| e^{j\varphi(\omega)} \quad X(e^{j\omega}) \text{ 为 } x(n) \text{ 的频谱}$$

$|X(e^{j\omega})|$  为  $x(n)$  的幅度谱,  $\varphi(\omega)$  为相位谱。 两者都为  $\omega$  的连续函数

因为  $X(e^{j\omega}) = X(e^{j(\omega+2\pi)})$ ,  $X(e^{j\omega})$  是以  $2\pi$  为周期的周期函数

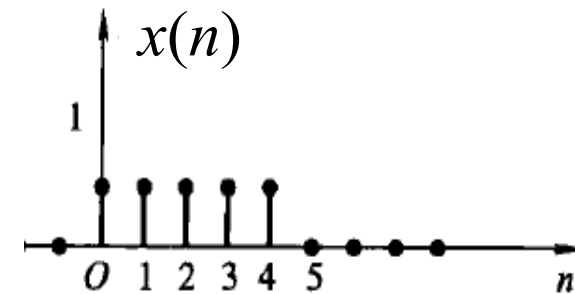
实序列的傅里叶变换  $X(e^{j\omega})$  的实部偶对称、虚部奇对称, 幅度偶对称、相角奇对称。



**例8-18:** 已知序列  $x(n] = u(n) - u(n - 5)$  , 求其傅里叶变换  $X(e^{j\omega})$  。

**解:**

$$\begin{aligned} X(e^{j\omega}) &= \sum_{n=-\infty}^{\infty} x(n)e^{-j\omega n} = \sum_{n=0}^4 e^{-j\omega n} = \frac{1 - e^{-j5\omega}}{1 - e^{-j\omega}} \\ &= \frac{e^{-j5\omega/2}}{e^{-j\omega/2}} \cdot \frac{e^{j5\omega/2} - e^{-j5\omega/2}}{e^{j\omega/2} - e^{-j\omega/2}} = e^{-j2\omega} \cdot \frac{\sin(5\omega/2)}{\sin(\omega/2)} \\ &= |X(e^{j\omega})| e^{j\varphi(\omega)} \end{aligned}$$

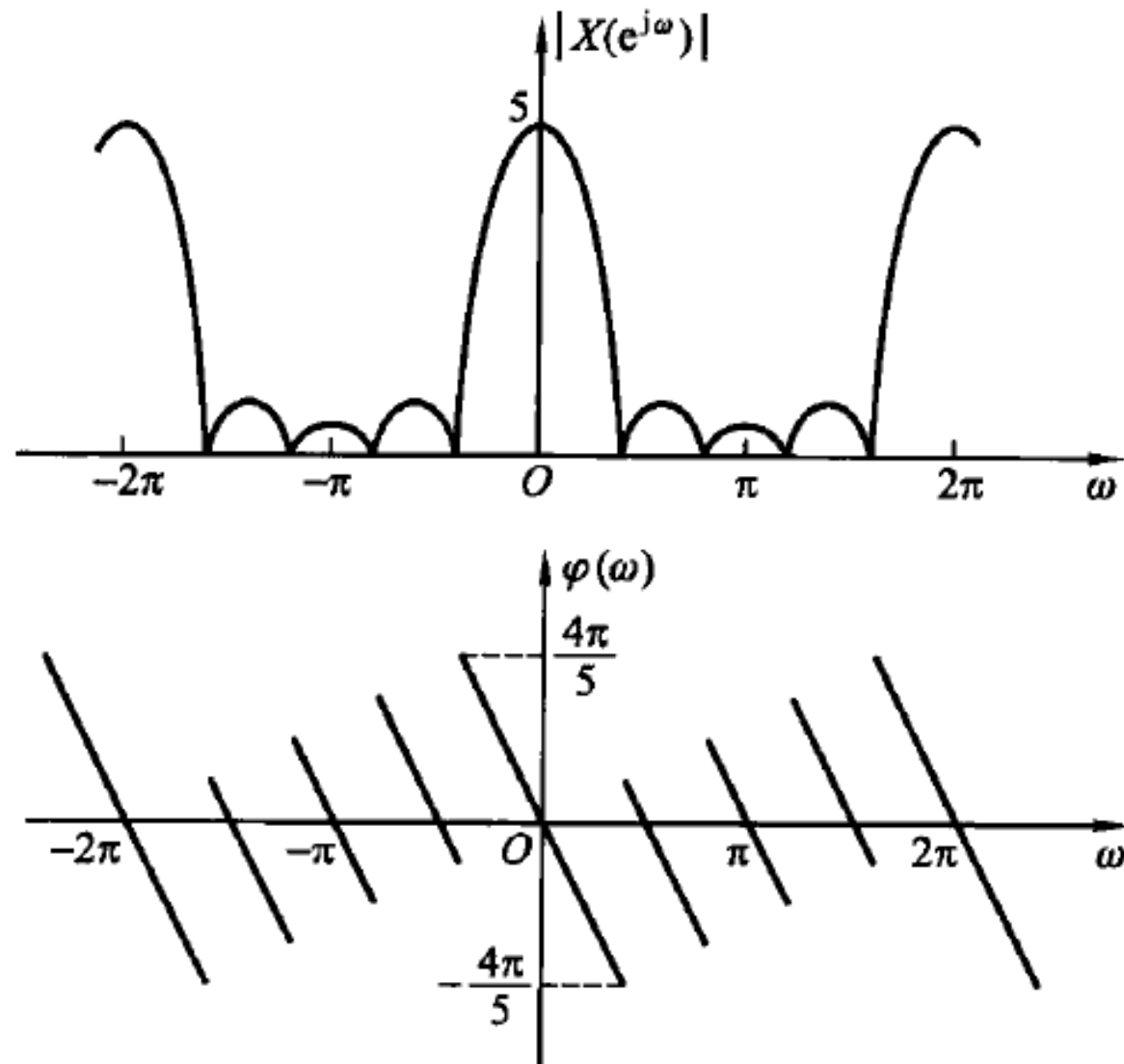


$$|X(e^{j\omega})| = \left| \frac{\sin(5\omega/2)}{\sin(\omega/2)} \right|$$

$$\varphi(\omega) = -2\omega + \arg \left[ \frac{\sin(5\omega/2)}{\sin(\omega/2)} \right]$$



方框内表达式的相移

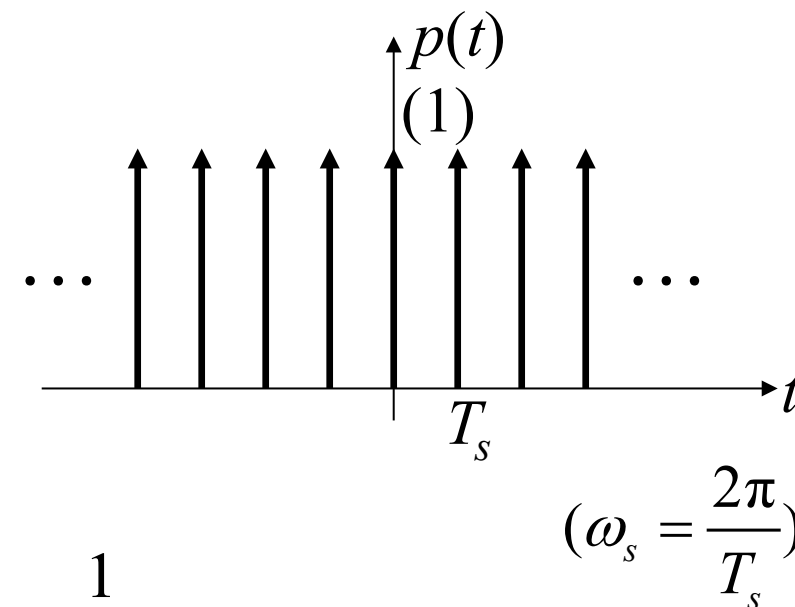


## 抽样信号的傅里叶变换

令连续信号  $f(t)$  的傅里叶变换为  $F(j\Omega)$

抽样脉冲  $p(t)$  的傅里叶变换为  $P(j\Omega)$

抽样后信号  $f_s(t)$  的傅里叶变换为  $F_s(j\Omega)$



抽样信号:  $f_s(t) = f(t)p(t) = f(t) \sum_{n=-\infty}^{\infty} \delta(t - nT_s)$

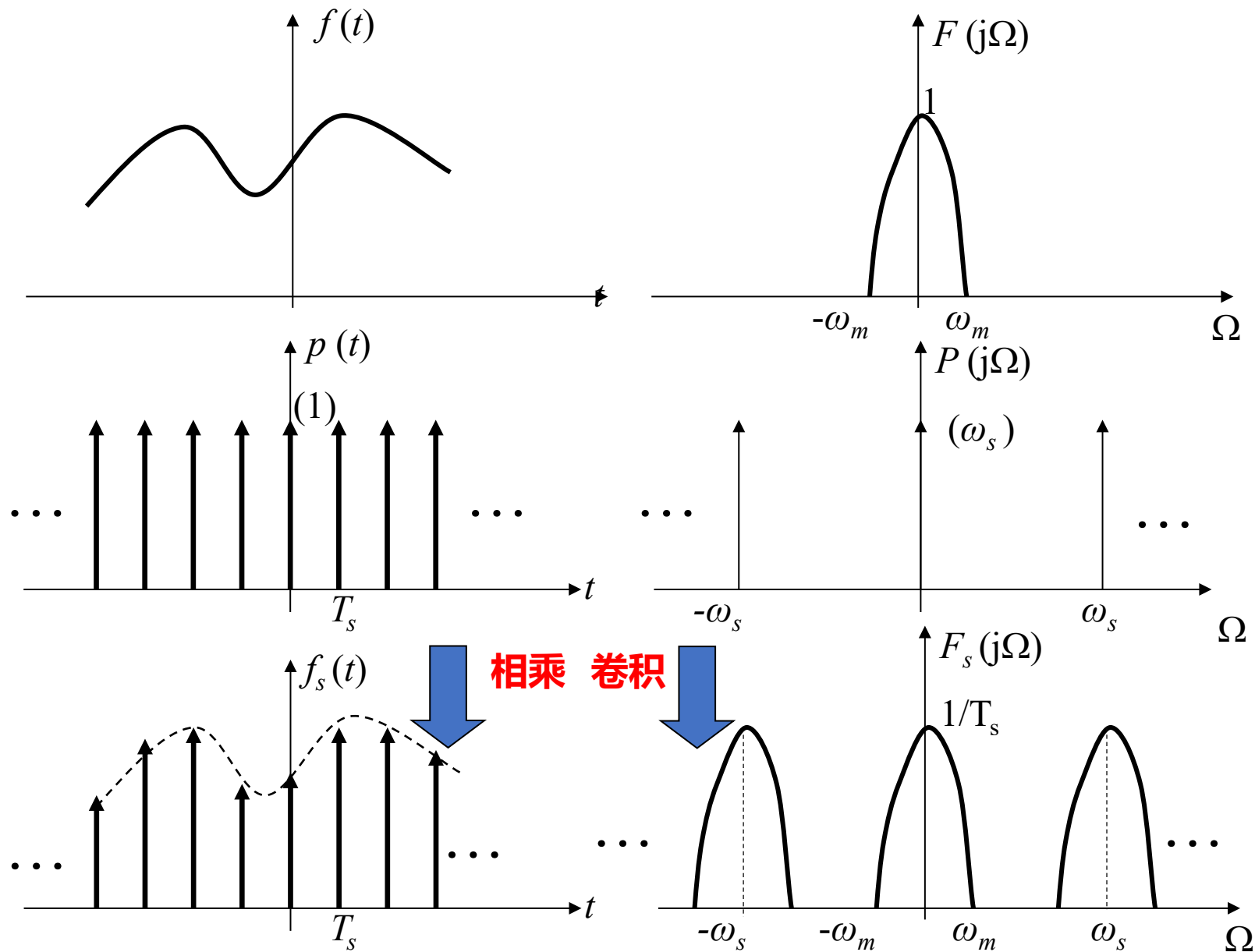
$$P(j\Omega) = 2\pi \sum_{n=-\infty}^{\infty} P_n \delta(\Omega - n\omega_s) \quad \text{其中,} \quad P_n = \frac{1}{T_s} \int_{-\frac{T_s}{2}}^{\frac{T_s}{2}} \delta(t) e^{-jn\omega_s t} dt = \frac{1}{T_s}$$

$$F_s(j\Omega) = \frac{1}{2\pi} F(j\Omega) * P(j\Omega) = \frac{1}{2\pi} F(j\Omega) * \frac{2\pi}{T_s} \sum_{n=-\infty}^{\infty} \delta(\Omega - n\omega_s)$$

$$= \frac{1}{T_s} \sum_{n=-\infty}^{\infty} F[j(\Omega - n\omega_s)] \quad \longleftarrow \quad F_s(j\Omega) \text{ 是周期为 } \omega_s \text{ 的周期函数。}$$

$$\omega = \Omega T_s, \quad \omega_s T_s = 2\pi$$

$$F_s(e^{j\omega}) \text{ 是周期为 } 2\pi \text{ 的周期函数。}$$



## 8.9.4 DTFT收敛的充分条件

$x(n)$ 是绝对可和的, 即  $\sum_{n=-\infty}^{\infty} |x(n)| < \infty$ ,

或 $x(n)$ 是平方可和的, 即  $\sum_{n=-\infty}^{\infty} |x(n)|^2 < \infty$

则 $X(e^{j\omega}) = \sum_{n=-\infty}^{\infty} x(n)e^{-j\omega n}$  收敛

证明:

(1) 若要DTFT存在, 就要求对于全部的  $\omega$  有  $|X(e^{j\omega})| < \infty$ 。

$$|X(e^{j\omega})| = |\sum_{n=-\infty}^{\infty} x(n)e^{-j\omega n}| \leq \sum_{n=-\infty}^{\infty} |x(n)| |e^{-j\omega n}| \leq \sum_{n=-\infty}^{\infty} |x(n)| < \infty$$

这表明若序列**绝对可和**, 则傅里叶变换存在。但由于上式**存在不等式缩放**, 绝对可和仅是充分条件。

(2) 若序列**平方可和**, 即  $\sum_{n=-\infty}^{\infty} |x(n)|^2 < \infty$ , 序列能量有限, 此时有  $\sum_{n=-\infty}^{\infty} x(n)e^{-j\omega n}$  均方收敛于  $X(e^{j\omega})$ , 序列的傅里叶变换也存在。

上述两条件仅是傅里叶变换存在的**充分条件**, 不满足这两个条件的某些序列 (如周期性序列、单位阶跃序列), **只要引入单位样值信号  $\delta(n)$ , 也可以得到它们的傅里叶变换。**

**序列傅里叶变换存在的充分必要条件至今尚未找到。**

下列关于序列傅里叶变换的说法中，错误的是（ ） 教材91页~95页

- ☐ A 实序列的傅里叶变换满足共轭对称性，即  $X(e^{j\omega})$  的实部偶对称、虚部奇对称，模值偶对称、相角奇对称。
- ☐ B 序列满足绝对可和条件时一定满足能量受限，而能量受限不能保证绝对可和。
- ☒ C  $X(e^{j\omega})$  是  $\omega$  的复函数且周期为  $2\pi$ ，但其模值与相角不一定以  $2\pi$  为周期。
- ☐ D 序列傅里叶变换的帕塞瓦尔定理表明，序列的时域总能量等于频域一周期内的总能量。

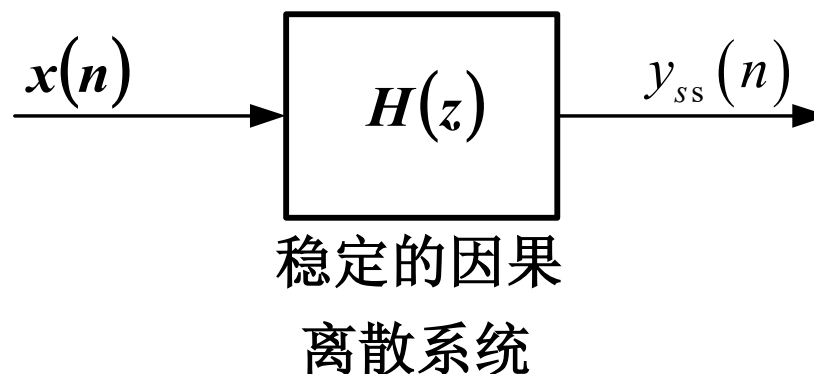
提交

## 8.10 离散时间系统的频率响应

### 8.10.1 离散系统频响特性的意义

#### 1、频率响应特性的定义

频率响应特性：离散系统在正弦序列作用下的稳态响应随频率变化的情况。

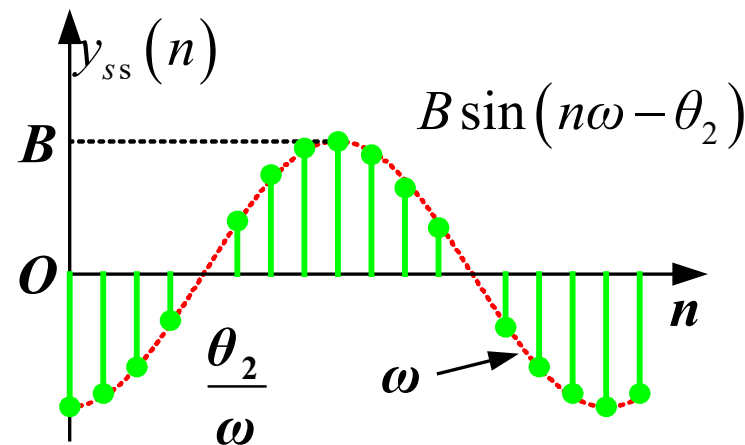
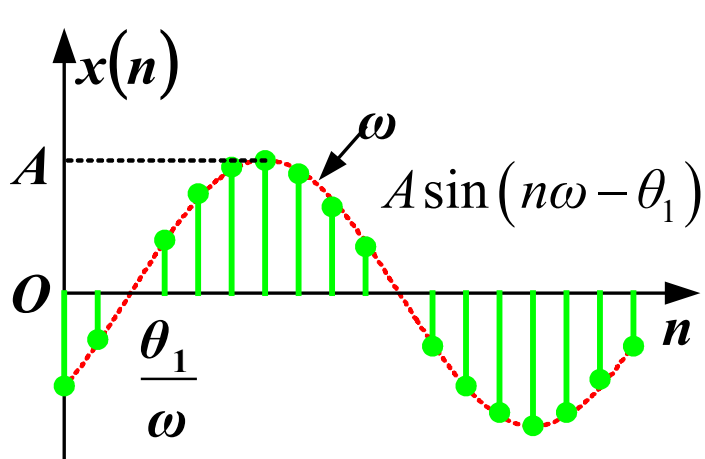


$$x(n) = A \sin(n\omega) \quad (n \geq 0)$$

$$H(e^{j\omega}) = |H(e^{j\omega})| e^{j\varphi}$$

$$y_{ss}(n) = A |H(e^{j\omega})| \sin(n\omega + \varphi)$$





$$H(e^{j\omega}) = |H(e^{j\omega})| e^{j\varphi} = \frac{B}{A} e^{j[-(\theta_2 - \theta_1)]}$$

$$|H(e^{j\omega})| = \frac{B}{A} \quad \varphi = -(\theta_2 - \theta_1)$$

频率响应特性的意义：表示输出序列的幅度和相位相对于输入序列的变化。

## 2、由系统函数得到频响特性

系统函数在单位圆上的  $z$  变换即为系统的频率响应特性:

$$H(e^{j\omega}) = H(z) \Big|_{z=e^{j\omega}} = |H(e^{j\omega})| e^{j\varphi(\omega)}$$

$|H(e^{j\omega})| \sim \omega$  : 幅度响应或幅频特性  
输出与输入序列的幅度之比

$\varphi(\omega) \sim \omega$  : 相位响应或相频特性  
输出对输入序列的相移

$e^{j\omega}$  为周期函数, 所以  $H(e^{j\omega})$  为周期函数,  
其周期为  $2\pi$  是有别于连续系统的一个突出特点。

## 3、频率响应与单位样值响应的关系

离散系统的频率响应是系统的单位样值响应的傅里叶变换。

$$H(e^{j\omega}) = \sum_{n=-\infty}^{\infty} h(n)e^{-j\omega n}$$

$H(e^{j\omega})$  是以  $h(n)$  为加权系数，对各次谐波进行改变的情况（物理意义）。

由于  $h(n)$  一般是实序列，所以  $|H(e^{j\omega})|$  是偶函数， $\varphi(\omega)$  是奇函数。

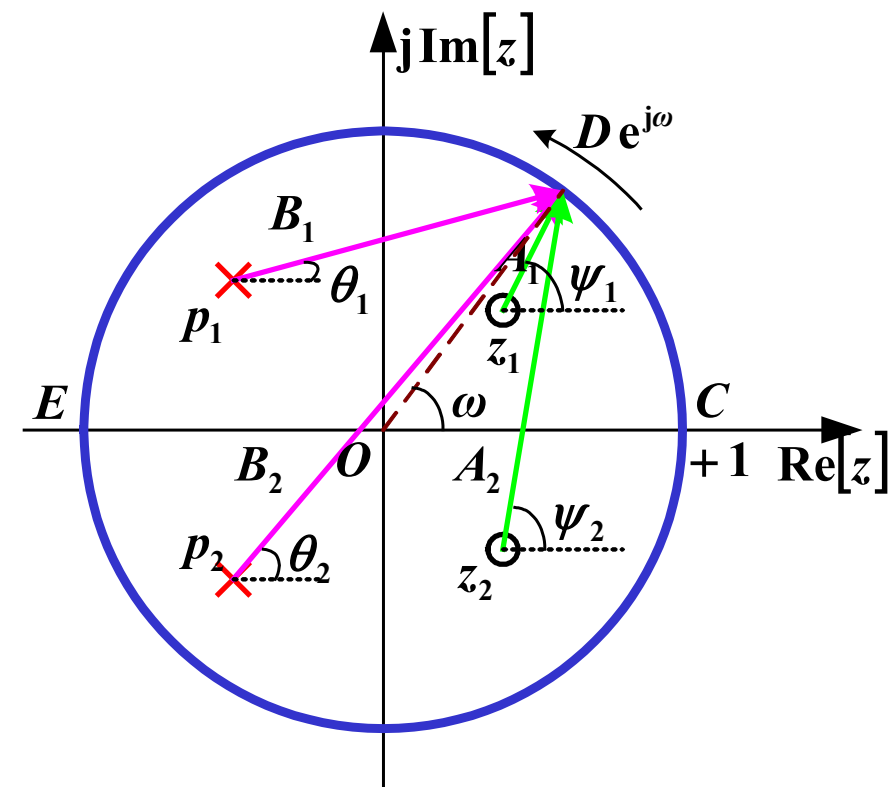
## 8.10.2 频响特性的几何确定

$$H(z) = H_0 \frac{\prod_{r=1}^M (z - z_r)}{\prod_{k=1}^N (z - p_k)}$$

$$H(e^{j\omega}) = H_0 \frac{\prod_{r=1}^M (e^{j\omega} - z_r)}{\prod_{k=1}^N (e^{j\omega} - p_k)} = |H(e^{j\omega})| e^{j\varphi(\omega)}$$

$$\text{令 } e^{j\omega} - z_r = A_r e^{j\psi_r}$$

$$e^{j\omega} - p_k = B_k e^{j\theta_k}$$

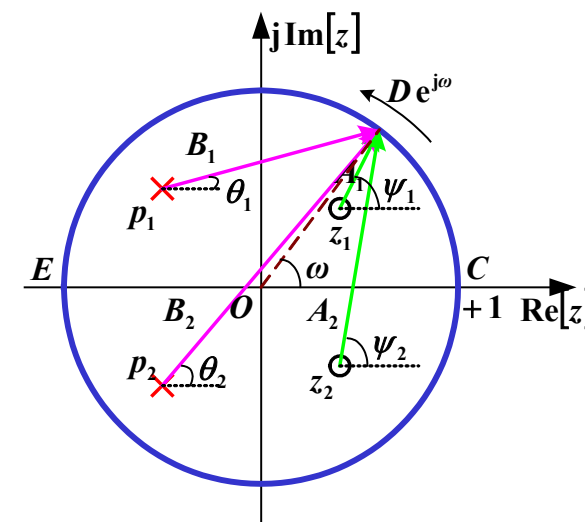


$$\text{幅频响应 } |H(e^{j\omega})| = H_0 \frac{\prod_{r=1}^M A_r}{\prod_{k=1}^N B_k}$$

$$\text{相位响应 } \varphi(\omega) = \sum_{r=1}^M \psi_r - \sum_{k=1}^N \theta_k$$

$$\text{幅频响应 } |H(e^{j\omega})| = H_0 \frac{\prod_{r=1}^M A_r}{\prod_{k=1}^N B_k}$$

$$\text{相位响应 } \varphi(\omega) = \sum_{r=1}^M \psi_r - \sum_{k=1}^N \theta_k$$



## 说明:

1) 位于  $z = 0$  的零点或极点对幅度响应不产生作用, 因而在  $z = 0$  处加入或去除零极点, 不会使幅度响应发生变化, 但会影响相位响应。

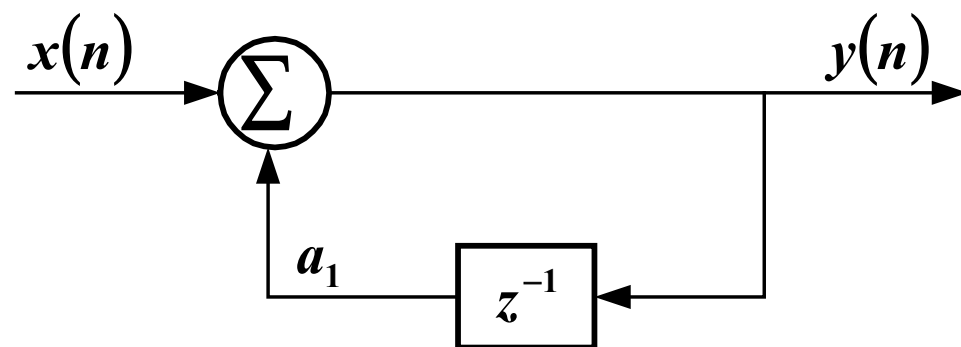
2) 当  $e^{j\omega}$  点旋转到某个极点  $p_k$  附近时, 如果矢量长度  $B_k$  最短, 则频率响应在该点可能出现峰值。

若极点  $p_k$  越靠近单位圆,  $B_k$  越短, 则频率响应在峰值附近越尖锐;

若极点  $p_k$  落在单位圆上,  $B_k = 0$ , 则频率响应的峰值趋于无穷大。

3) 零点的作用与极点相反。

**例8-19:** 求下图所示一阶离散因果稳定系统的频率响应并分析其特性。



解:

差分方程

$$y(n) = a_1 y(n-1) + x(n)$$

系统函数

$$\text{系统为因果系统, } H(z) = \frac{z}{z - a_1} \quad |z| > |a_1|$$

为了保证该系统稳定, 要求  $|a_1| < 1$

单位样值响应

$$h(n) = a_1^n u(n)$$

频率响应

$$H(e^{j\omega}) = \frac{e^{j\omega}}{e^{j\omega} - a_1} = \frac{1}{(1 - a_1 \cos \omega) + j a_1 \sin \omega}$$

幅度响应

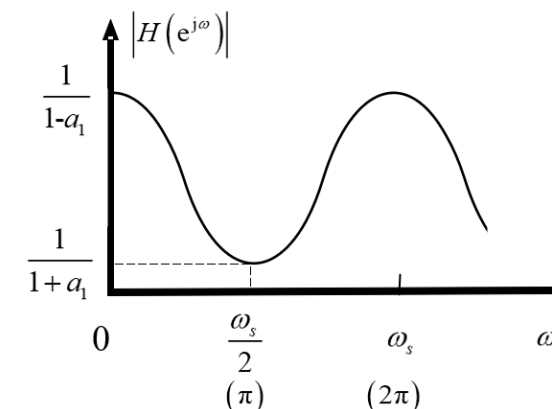
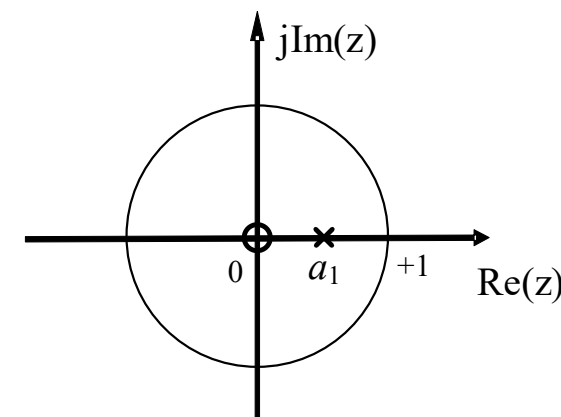
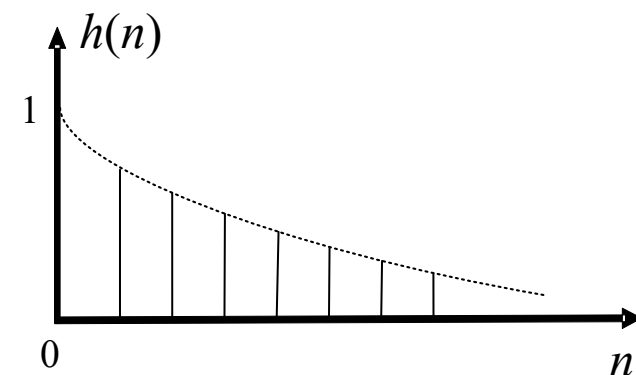
$$|H(e^{j\omega})| = \frac{1}{\sqrt{1 + a_1^2 - 2a_1 \cos \omega}}$$

相位响应

$$\varphi(\omega) = -\arctan\left(\frac{a_1 \sin \omega}{1 - a_1 \cos \omega}\right)$$

$$H(e^{j\omega}) = \frac{e^{j\omega}}{e^{j\omega} - a_1}$$

$0 < a_1 < 1$  时, 系统为低通特性;  $-1 < a_1 < 0$  时, 系统为高通特性。



## 离散时间系统的频率响应小结

1. 系统的频响特性  $H(e^{j\omega}) = H(z) \Big|_{z=e^{j\omega}} = |H(e^{j\omega})| \cdot e^{j\varphi(\omega)}$   
 $|H(e^{j\omega})|$  : 幅频特性, 输出与输入序列的幅度之比  
 $\varphi(\omega)$  : 相频特性, 输出对输入序列的相移
2. 系统的频率响应就是系统函数在单位圆上的动态, 因  $\omega$  而变化, 影响输出的幅度与相位
3. 因为  $e^{j\omega}$  是周期为  $2\pi$  的周期函数, 所以系统的频响特性  $H(e^{j\omega})$  是周期为  $2\pi$  的周期函数
4.  $|H(e^{j\omega})|$  是关于  $\omega$  的偶函数,  $\varphi(\omega)$  是关于  $\omega$  的奇函数



## 8.10.3 滤波器介绍

### 滤波器的作用：

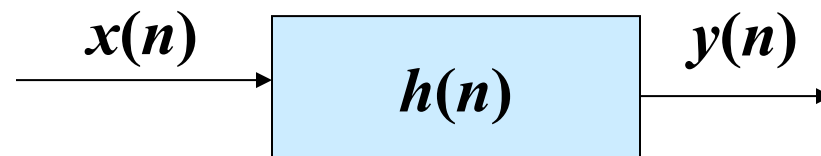
- 1) 去除信号中不需要的部分(信号分离)，如随机噪声；
- 2) 提取信号中的有用部分(信号恢复)，如提取某一频率段内的成分。

从系统角度看，滤波器分为**模拟滤波器** (analog filter, AF) 和**数字滤波器** (digital filter, DF) 两大类。它们都是可实现的**线性时不变系统**。两类滤波器在物理组成和工作方式上有很大不同。

➤ **模拟滤波器**：利用模拟电路对模拟信号做滤波处理。模拟滤波器只能用硬件实现，其元件是 R, L, C 及运算放大器或开关电容等。

➤ **数字滤波器**：利用离散时间系统对数字信号做滤波处理。数字滤波器既可以用**硬件**实现（数字信号处理器），也可以用**计算机软件**来实现。其在体积、重量、精度、稳定性、可靠性、存储功能、灵活性以及性能价格比等方面明显优于模拟滤波器。

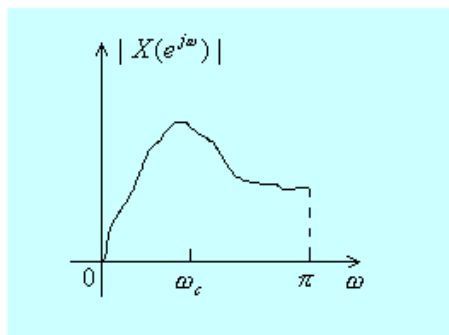
## 8.10.4 数字滤波器的工作原理



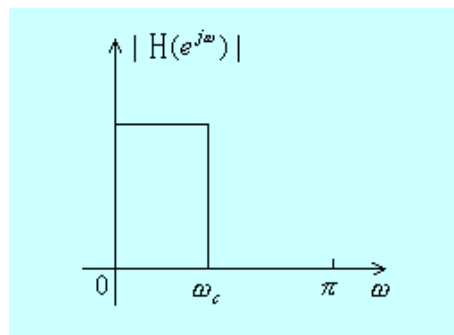
LTI 系统的输出为:  $y(n) = x(n) * h(n) = IDTFT[X(e^{j\omega})H(e^{j\omega})]$

输入序列的频谱  $X(e^{j\omega})$  经过滤波器  $H(e^{j\omega})$  后变成  $X(e^{j\omega})H(e^{j\omega})$

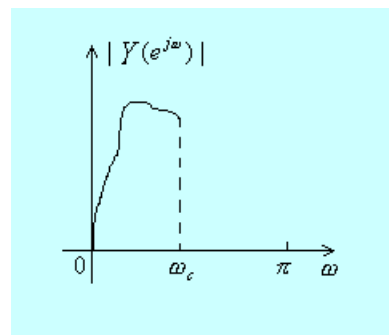
选取  $H(e^{j\omega})$ , 使滤波器输出  $X(e^{j\omega})H(e^{j\omega})$  符合我们的要求, 这就是数字滤波器的工作原理。



$X(e^{j\omega})$



$H(e^{j\omega})$



$Y(e^{j\omega})$

$x(n)$  通过系统  $h(n)$  后,  
使输出  $y(n)$  中  
不再含有  $|\omega| > \omega_c$  的频率成分,  
而使  $|\omega| < \omega_c$  的成分“不失真的通过”

## 8.10.5 经典滤波器和现代滤波器

### 1、经典滤波器

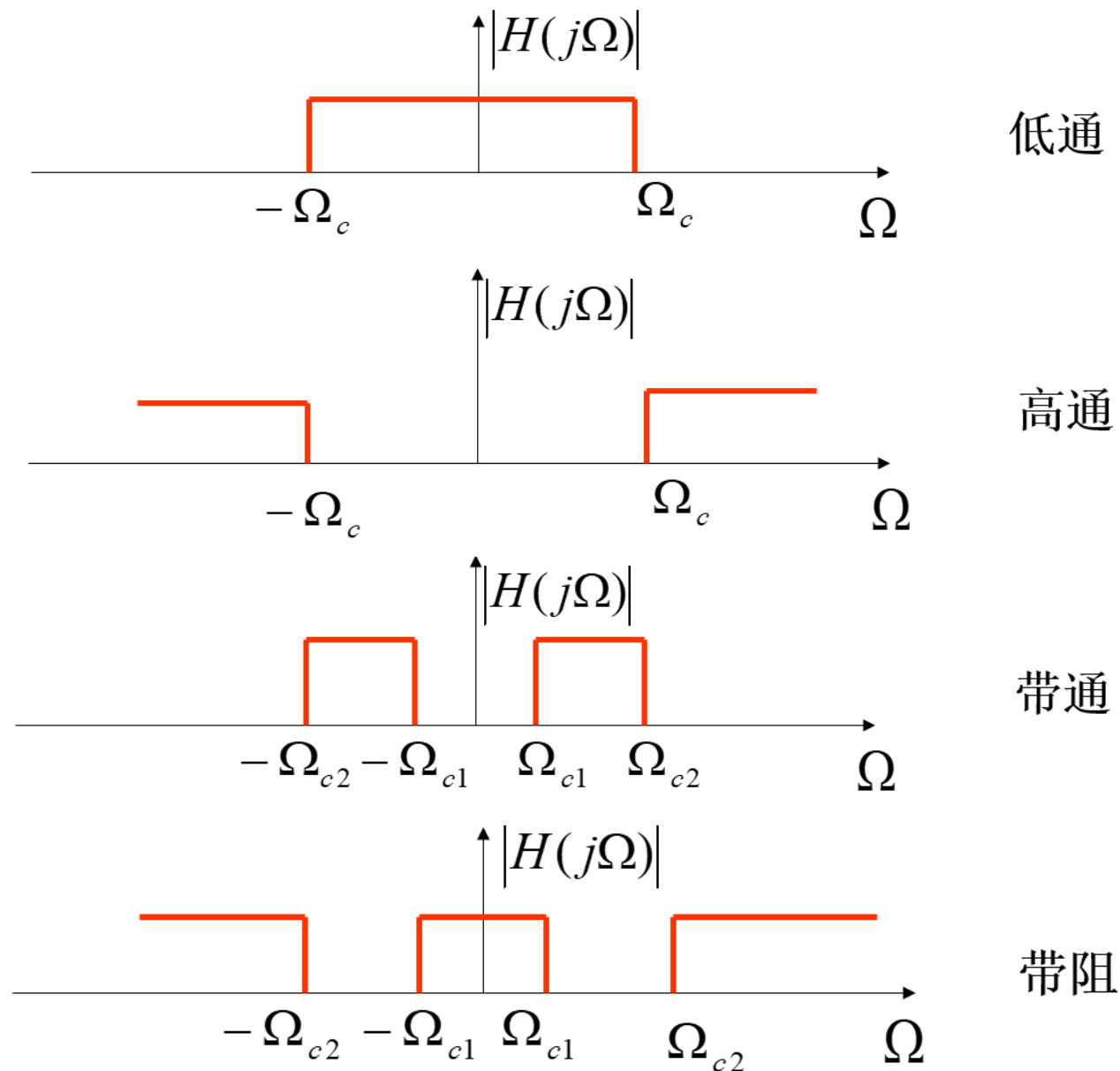
$$x(n) = s(n) + u(n) \longrightarrow \text{加性噪声}$$

若  $x(n)$  中的有用成分  $s(n)$  和希望去除的成分  $u(n)$  各自占有不同的频带, 通过一个线性系统可将  $u(n)$  有效去除

按功能分: 低通 (LP), 高通 (HP), 带通 (BP), 带阻 (BS), 全通

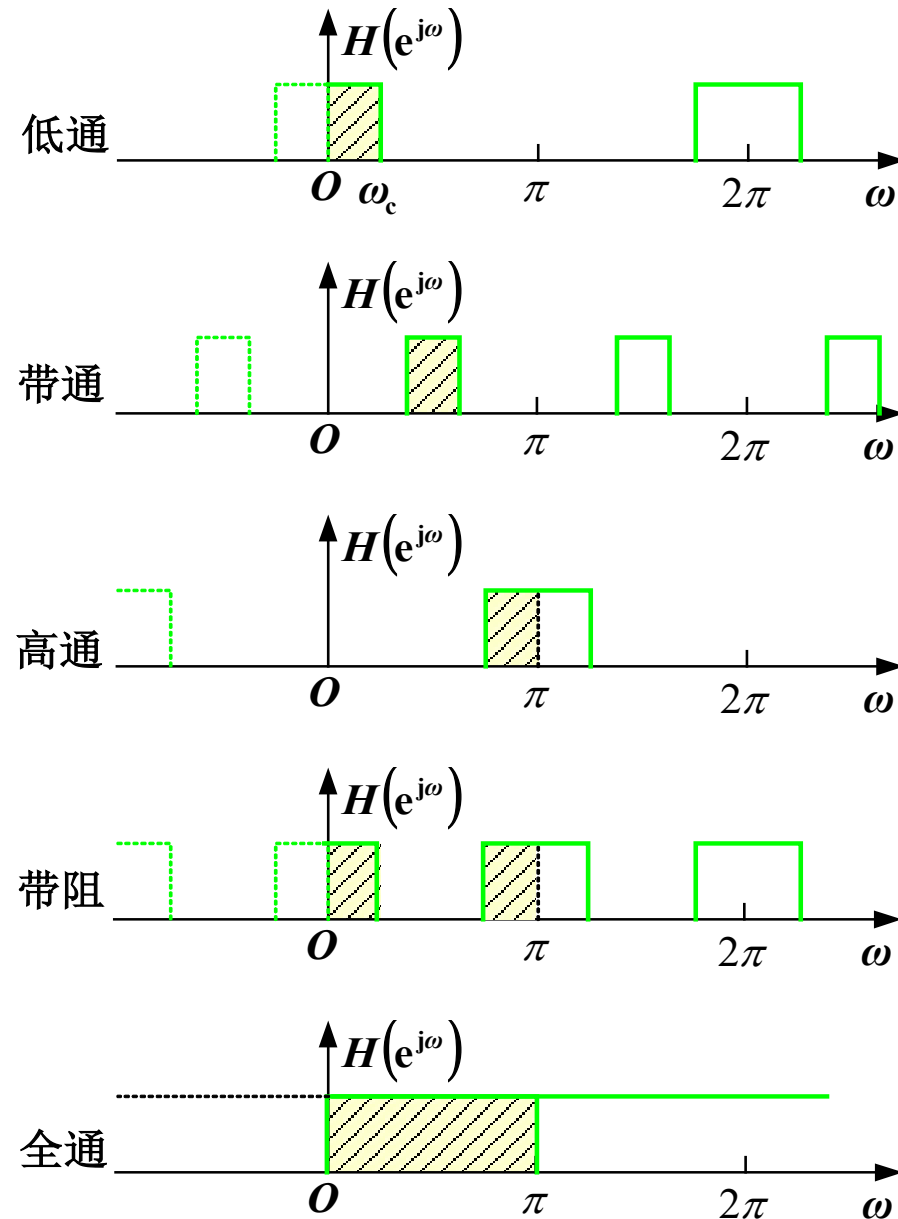
每一种又有模拟 (AF)、数字 (DF) 两种滤波器

## 1) 模拟滤波器的理想幅频特性



## 2) 数字滤波器的理想幅频特性

由于周期性和对称性，只研究  
 $0 \leq \omega \leq \pi$  范围即可。



下列关于滤波器的说法中，**错误**的是（ ）

- ☐ A 滤波器通过减小某频率处的增益来“滤除”该频率
- ☐ B 数字滤波器  $\omega = \pi$  附近区域对应实际频率的“高频”
- ☐ C 模拟滤波器可直接对模拟信号进行处理，数字滤波器只能处理经过模数转换后的数字信号。
- ☒ D 理想数字低通滤波器可以物理实现。

提交

## 2、现代滤波器

$$x(n) = s(n)u(n) \quad \longrightarrow \quad \text{乘法性噪声}$$

$$x(n) = s(n) * u(n) \quad \longrightarrow \quad \text{卷积性噪声}$$

信号的频谱和噪声道频谱混迭在一起，靠经典的滤波方法难以去除噪声。

**目标：**从含有噪声的数据记录(又称时间序列)中估计出信号的某些特征或信号本身。

滤波器种类：维纳(Wiener)滤波器、卡尔曼(Kalman)滤波器、线性预测、自适应滤波器

对**数字滤波器 (DF)**，从实现方法上，有 finite impulse response (**FIR**) 滤波器和 infinite impulse response (**IIR**) 滤波器之分，转移函数分别为：

$$\text{FIR DF: } H(z) = \sum_{n=0}^{N-1} h(n)z^{-n}$$

$$\text{IIR DF: } H(z) = \frac{\sum_{k=0}^M b_k z^{-k}}{1 - \sum_{k=1}^N a_k z^{-k}}$$



## 作 业

**教材习题：**

**基础题：** 8-32, 8-33 (2) , 8-34

**加强题：** 8-33 (1) (3) , 8-38